

Costruzione e test delle camere per muoni a grande angolo del rivelatore CMS

Francesca Romana Cavallo - INFN Bologna

- ★ Obiettivi e requisiti dei rivelatori per muoni nell'ambiente sperimentale di LHC
- * Struttura delle camere per muoni a grande angolo di CMS
- ★ Principali caratteristiche di funzionamento
- ★ Produzione e test di qualità

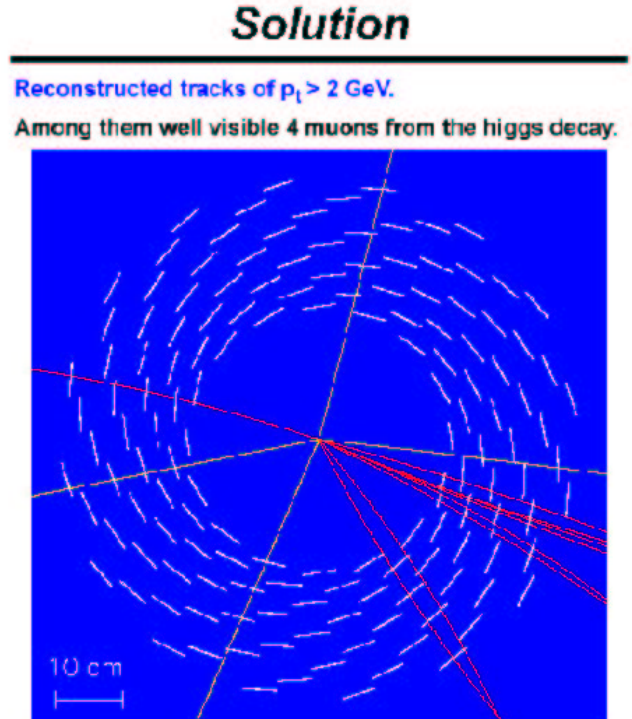
17-09-2003



L'ambiente sperimentale di LHC

Frequenza degli eventi: $\sim 10^9\,Hz$ (per $L=10^{34}cm^{-2}s^{-1}$).

Possibile frequenza di produzione di Higss: $\sim 10^{-2} \, Hz$.



(Figure di G. Wrochna)



Obiettivi del rivelatore per muoni

- * Primo livello di trigger (μ primari di alto p_T)
- \star Identificazione dei μ e assegnazione della carica fino a 7 TeV/c
- * Misura del momento ad alta risoluzione
- \star Identificazione del Bunch Crossing (frequenza di BCO: 40MHz!)

ne consegue:

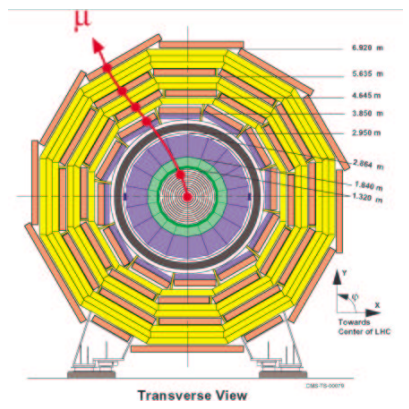
Requisiti del rivelatore per muoni:

- ★ Capacità di ricostruzione on-line
- * Risoluzione spaziale $\leq 100 \,\mu m \, (\leq 250 \mu m \, \text{per il singolo punto}),$ $\sim 1 \, mrad$
- * Risoluzione temporale: $\ll 25 \, ns$ (\leftarrow intervallo tra BCO's)

Inoltre: Resistenza alla radiazione.



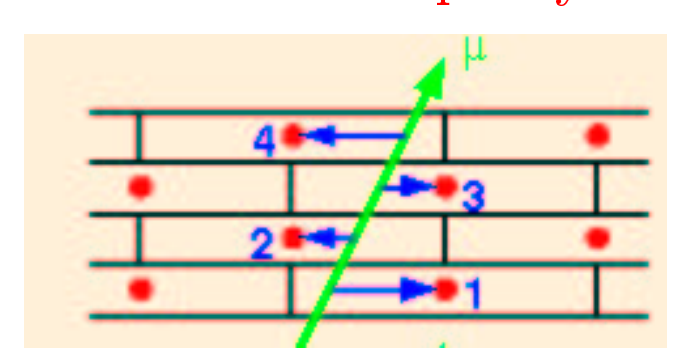
I rivelatori per muoni nel barrel di CMS

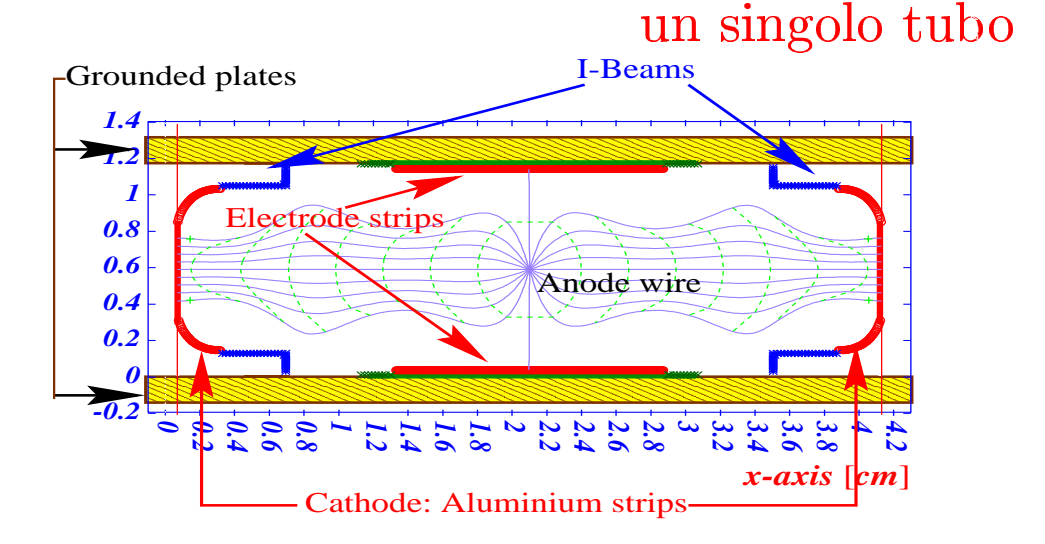


una singola camera

sezione del rivelatore

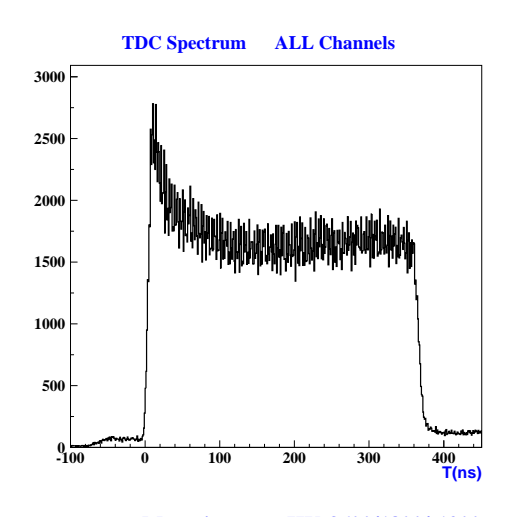
sezione di un "superlayer"





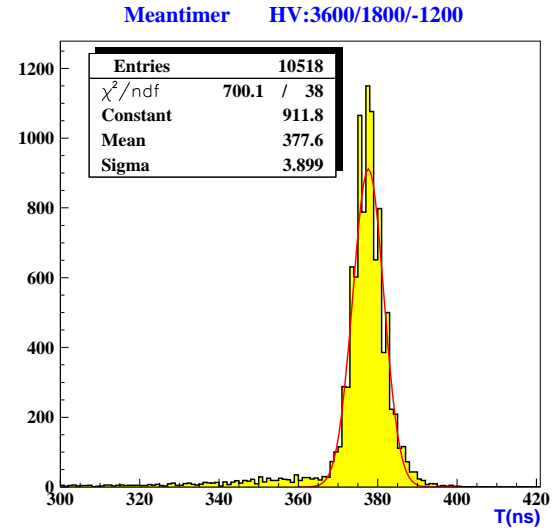


Come funzionano:



Velocità di drift uniforme

Efficienza uniforme e prossima a 1



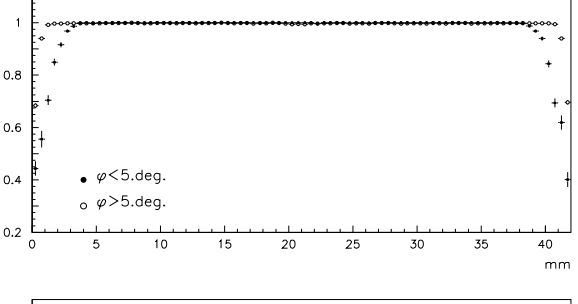
e ben misurata.

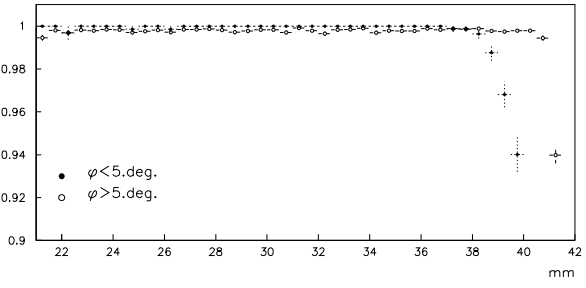
$$T (\equiv \frac{1}{2}(t_1 + 2t_2 + t_3))$$

$$\sigma_T = 3.18 \, ns$$

$$v_d = 55.6 \, \mu m/ns$$

in Ar $CO_2(85-15\%)$

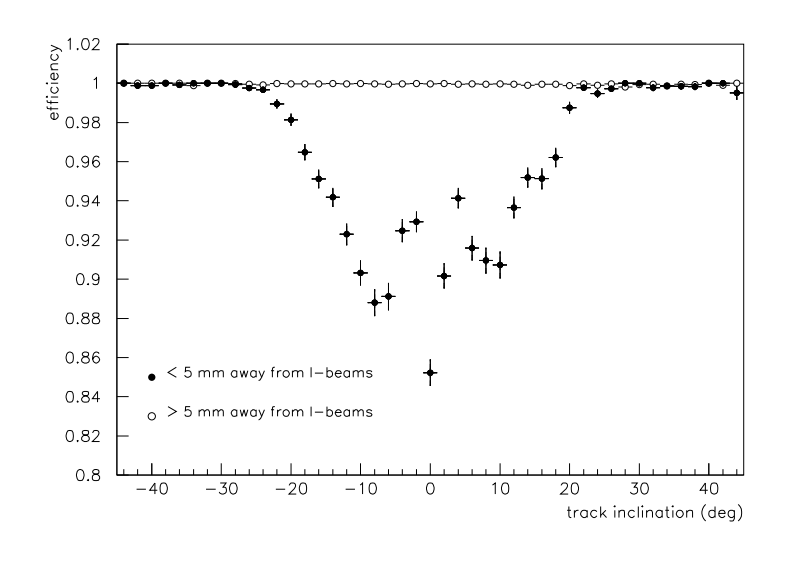


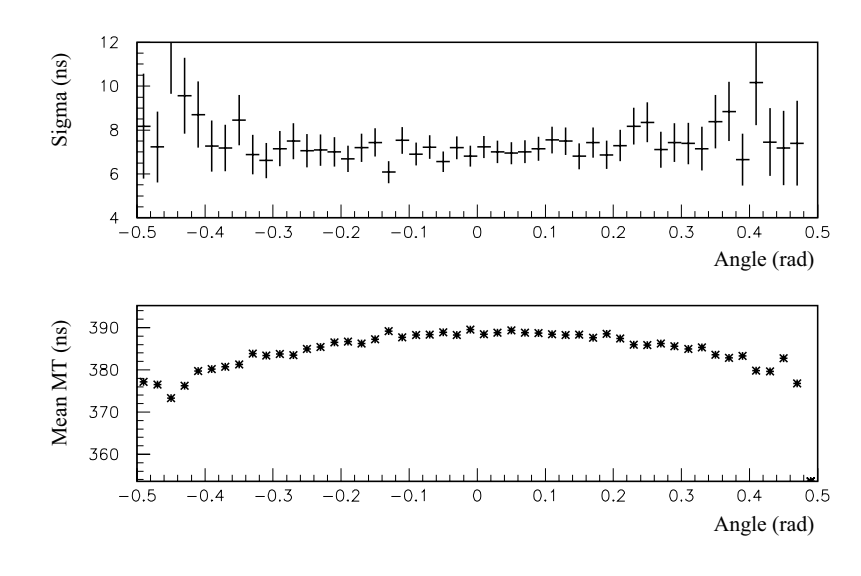


 ε vs posizione nella cella



Buona efficienza e risoluzione anche per tracce inclinate





 $\varepsilon vs \varphi$

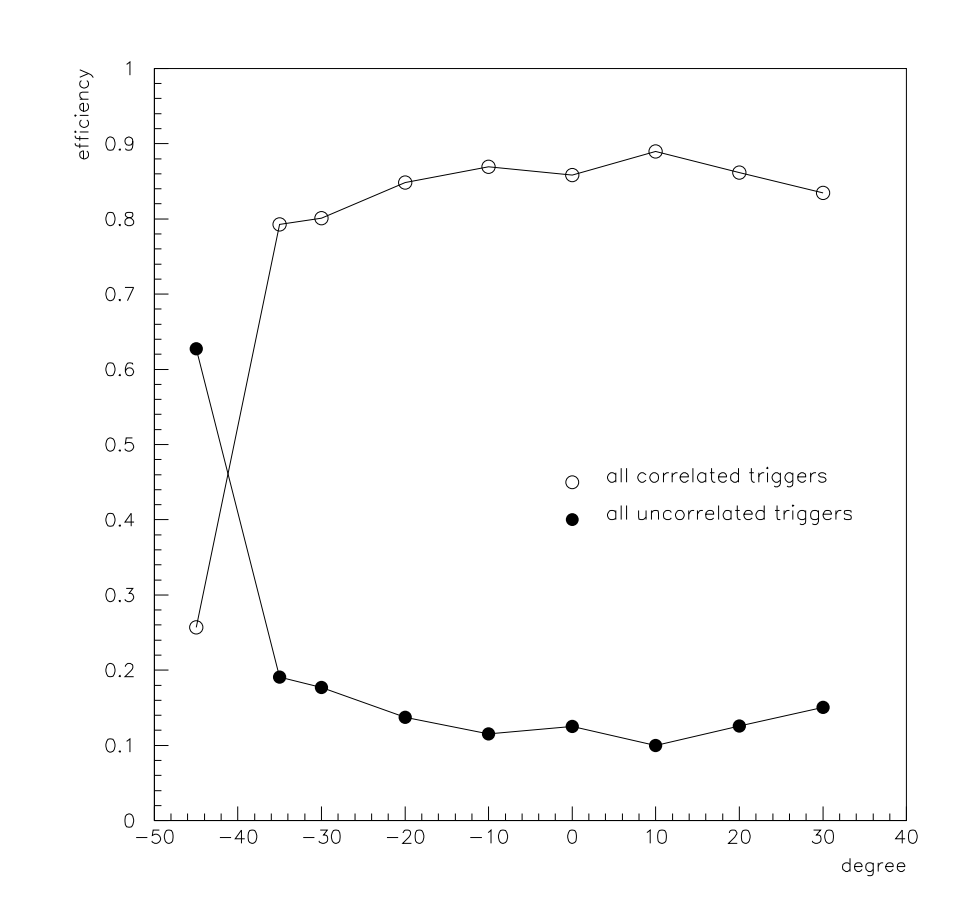
 $\sigma_T \ e \ T \ vs \ \varphi$



Trigger locale di primo livello

- Ricostruzione hardware di segmenti di traccia.
- Usa i segnali dei fili con una granularità di 25 ns.
- 4 punti allineati \Rightarrow tr. H
- 3 punti allineati \Rightarrow tr. L
- 2 segmenti corrispondenti nei due superlayer $\Phi \Rightarrow \text{tr.}$ correlato (HH, HL o LL)
- Test beam maggio 2003: primi risultati

(v. Sara Vanini)



Efficienza trigger verso angolo



Produzione

250 camere da costruire, suddivise in 4 tipi (dimensioni)

Siti di produzione: Aachen, Legnaro, Madrid, (Torino).

Procedura:

- * Filatura
- ★ Incollaggio catodi e assemblaggio layers e superlayers
- ★ Controlli layer:
 - misure di posizione e tensione dei fili
- * Misura di planarità del superlayer
- ★ Montaggio testate HV e Front End



- ★ Controlli superlayer:
 - test tenuta gas
 - test tenuta HV in gas
- ★ Assemblaggio camera (3 superlayers)
- ★ Test camera:
 - rumore elettronica
 - test con raggi cosmici:
 - * linearità
 - * efficienza
 - * risoluzione
- ★ Spedizione al CERN





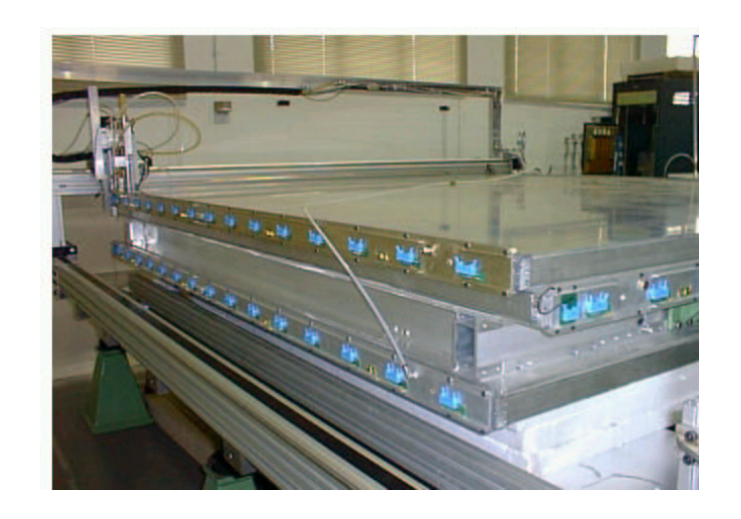
Disposizione dei catodi



I Front End



Incollaggio dei catodi

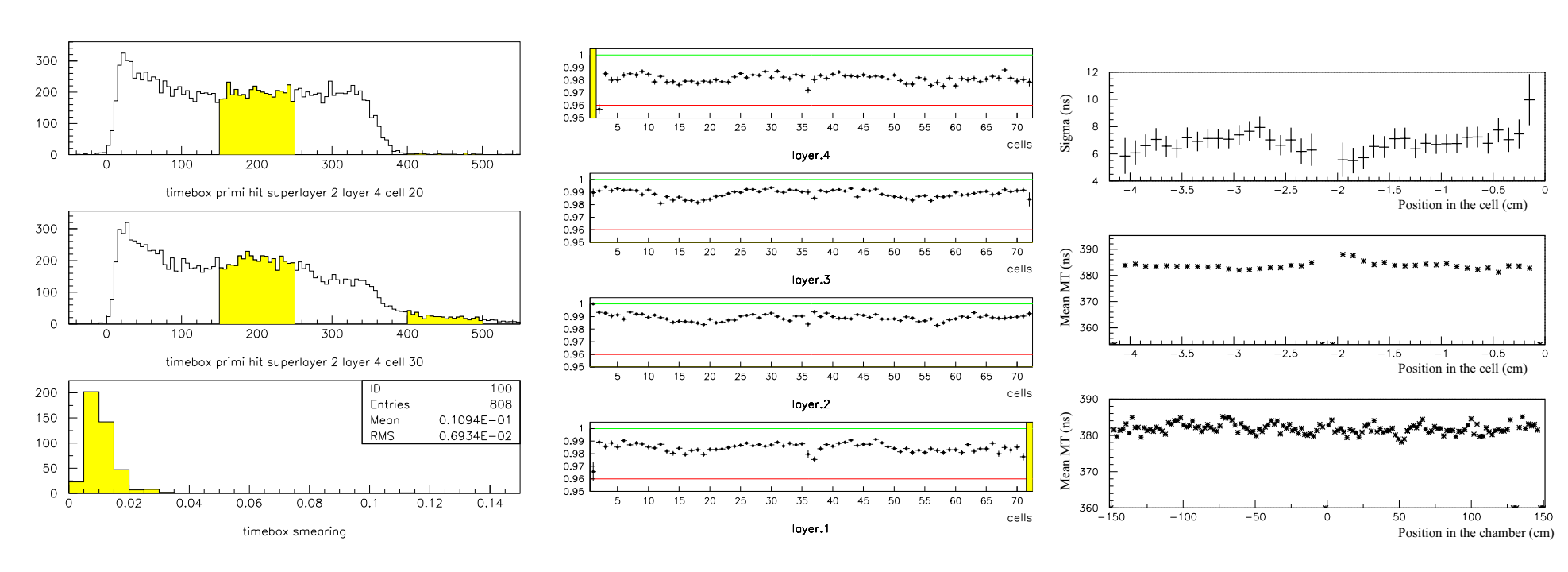


Una camera completa



Test di ogni camera con raggi cosmici (LNL)

ESEMPI:



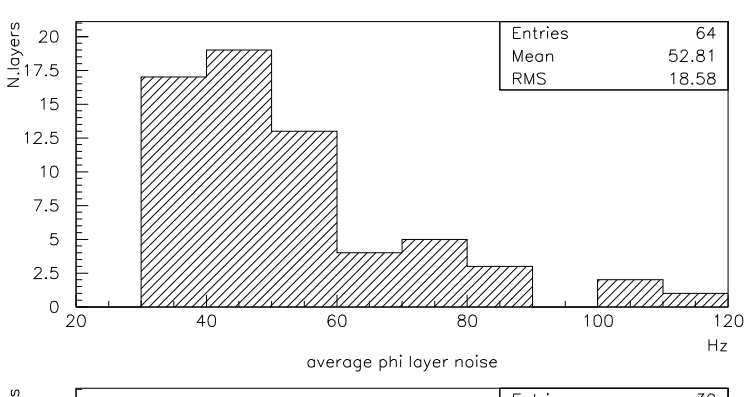
Uniformità della velocità di drift cella per cella

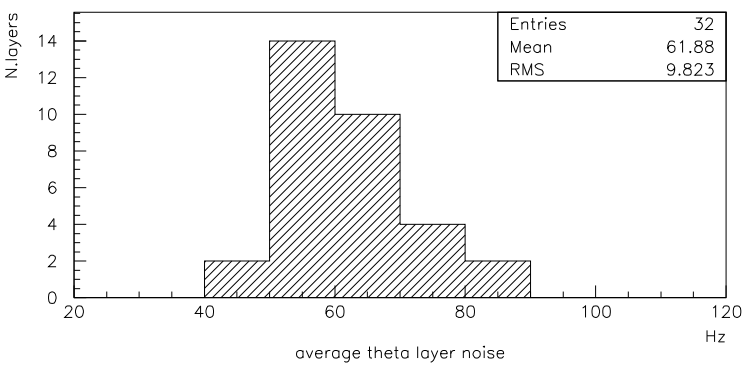
Efficienza cella per cella

Uniformità della risoluzione e velocità di drift cella per cella

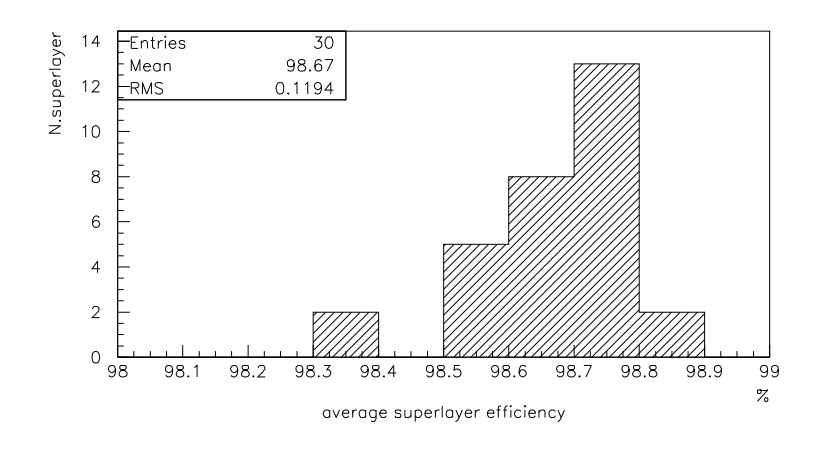


Qualità della produzione (LNL)

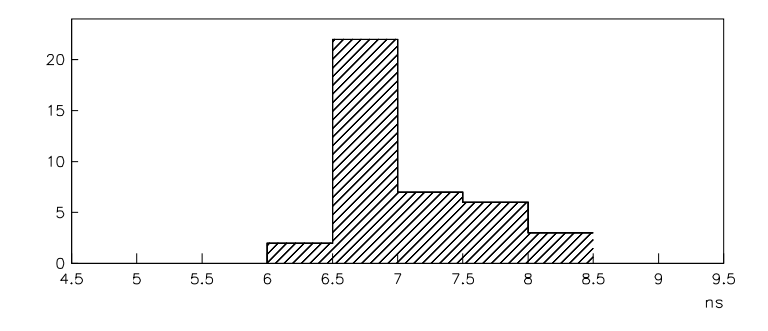




Rumore medio per filo in ogni layer (s.l. Φ e Θ)



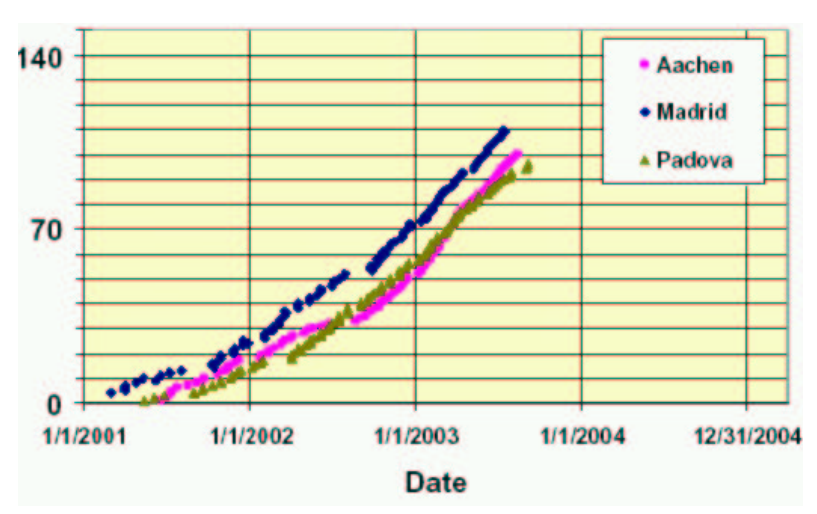
Efficienza media in ogni superlayer



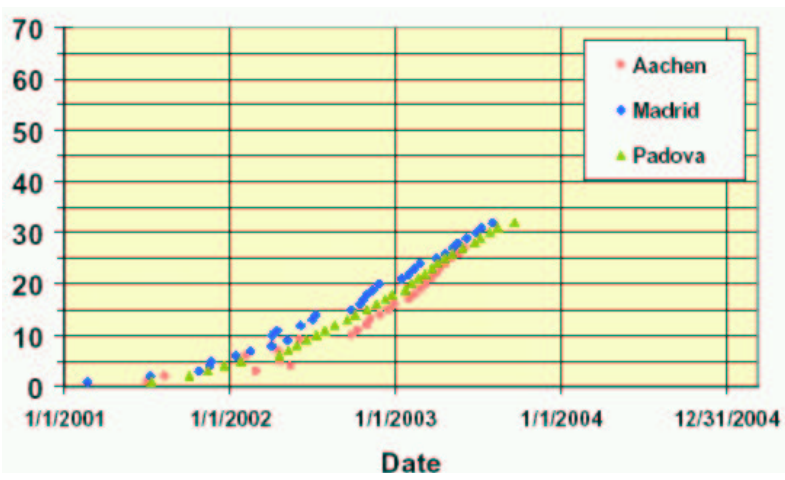
Risoluzione media in ogni superlayer



Ritmo di produzione



Superlayer prodotti vs tempo nei 3 siti



Camere prodotte vs tempo nei 3 siti

.. e tra poche settimane inizia l'installazione!



Test di installazione, agosto 2002

I primi μ di LHC ci troveranno pronti nel 2007